

文章编号: 1004-7271(2001)02-0140-05

## 斑节对虾鳃 $\text{Na}^+/\text{K}^+$ -ATPase 的活性

房文红, 王慧, 来琦芳, 李国保

(中国水产科学研究院东海水产研究所, 上海 200090)

**摘要:**研究了培养介质的  $\text{Na}^+$ 、 $\text{K}^+$  和  $\text{Mg}^{2+}$  浓度、 $\text{Na}^+/\text{K}^+$  比、pH 值、培养温度以及培养时间和底物 ATP- $\text{Na}_2$  量对斑节对虾鳃  $\text{Na}^+/\text{K}^+$ -ATPase 活性的影响。培养介质中  $\text{Na}^+$  浓度为 50~100mM、 $\text{K}^+$  浓度为 25~30mM、 $\text{Mg}^{2+}$  浓度为 8~20mM、 $\text{Na}^+/\text{K}^+$  比在 10:1~2:1、pH 7.0~7.5 时,  $\text{Na}^+/\text{K}^+$ -ATPase 活性较高。 $\text{Na}^+/\text{K}^+$ -ATPase 活性随着培养温度升高而增大。 $\text{Na}^+/\text{K}^+$ -ATPase 反应时释放出的无机磷( $\text{P}_i$ )累积量与培养时间呈直线性增加。底物 ATP- $\text{Na}_2$  浓度达到 1.04mM 时,  $\text{Na}^+/\text{K}^+$ -ATPase 活性达到最高, 随着 ATP- $\text{Na}_2$  量的增多,  $\text{Na}^+/\text{K}^+$ -ATPase 活性并未增大。

**关键词:**斑节对虾; 鳃  $\text{Na}^+/\text{K}^+$ -ATPase; 活性

**中图分类号:**S912      **文献标识码:**A

## Activity of $\text{Na}^+/\text{K}^+$ -ATPase from the gill of the giant tiger shrimp (*Penaeus monodon*)

FANG Wen-hong, WANG Hui, LAI Qi-fang, LI Guo-bao

(East China Sea Fisheries Research Institute, CAFS, Shanghai 200090, China)

**Abstract:** The sodium-potassium dependent adenosine triphosphatase ( $\text{Na}^+/\text{K}^+$ -ATPase) is assumed to be a key enzyme in adaptive process in euryhaline aquatic organisms. This paper demonstrated activity of  $\text{Na}^+/\text{K}^+$ -ATPase in branchial preparations from the giant tiger shrimp (*Penaeus monodon*), examined the ion and substrate requirements and effects of incubation temperature, pH and incubation time. Maximal enzyme activity was obtained at 50 to 100 mM  $\text{Na}^+$ , 25 to 30 mM  $\text{K}^+$ , 8 to 20 mM  $\text{Mg}^{2+}$ ,  $\text{Na}^+/\text{K}^+$  ratio of 2:1, and pH at 7.0 to 7.5. The activity of  $\text{Na}^+/\text{K}^+$ -ATPase increased with the increasing of incubation temperature. The increasing of incubation time resulted in a close to linear release of phosphate from the substrates catalysed by  $\text{Na}^+/\text{K}^+$ -ATPase. Maximal activity of  $\text{Na}^+/\text{K}^+$ -ATPase was gained at 1.04mM ATP- $\text{Na}_2$ , while activity of  $\text{Na}^+/\text{K}^+$ -ATPase was not promoted with higher concentration of ATP- $\text{Na}_2$ .

**Key words:** *Penaeus monodon*; gill  $\text{Na}^+/\text{K}^+$ -ATPase; activity

$\text{Na}^+/\text{K}^+$ -ATPase 存在于一切动物细胞的细胞质膜上, 参与细胞膜两侧的  $\text{Na}^+$ 、 $\text{K}^+$  离子的跨膜主动运输。ATPase 能被  $\text{Na}^+$ 、 $\text{K}^+$  和  $\text{Mg}^{2+}$  所激活, 受乌本苷抑制。水生动物的鳃上皮细胞是离子调节的主要场所。Quinn 和 Lane<sup>[1]</sup>首次报道了甲壳动物鳃上皮细胞存在  $\text{Na}^+/\text{K}^+$ -ATPase, 从此开始了对甲壳动物  $\text{Na}^+/\text{K}^+$ -ATPase 活性的研究<sup>[2~5]</sup>。一些渗透调变类蟹的后鳃表现出较高水平的  $\text{Na}^+/\text{K}^+$ -ATPase 活

收稿日期: 2000-09-12

第一作者: 房文红(1968-), 男, 江苏兴化人, 助理研究员, 从事水产养殖与病害研究。上海水产大学1991届校友。E-mail: wenhongfang@sina.com

性<sup>[6]</sup>。在蓝蟹(*Callinectes sapidus*)中,鳃上某些区域的 $\text{Na}^+/\text{K}^+$ -ATPase较高,这些区域指定为离子运输<sup>[4]</sup>,并且广盐性甲壳动物适应于低盐度海水,其鳃 $\text{Na}^+/\text{K}^+$ -ATPase活性高于高盐度中的 $\text{Na}^+/\text{K}^+$ -ATPase活性<sup>[4,7]</sup>。甲壳动物中有关 $\text{Na}^+/\text{K}^+$ -ATPase活性的研究在虾蟹类中报道很多<sup>[1,2,7-10]</sup>,但对有关虾的 $\text{Na}^+/\text{K}^+$ -ATPase活性报道较少。斑节对虾为广盐性海水动物,经淡化可在淡水中生存和生长。了解斑节对虾在淡化过程中 $\text{Na}^+/\text{K}^+$ -ATPase活性变化,建立盐度驯化与 $\text{Na}^+/\text{K}^+$ -ATPase活性变化关系模型,有助于探索水生动物的盐度驯化机制,对今后苗种培育中盐度驯化和在内陆盐碱地进行虾类移植具有指导意义。本试验旨在探讨不同培养条件如培养介质的离子组成、底物、培养时间和温度等对 $\text{Na}^+/\text{K}^+$ -ATPase活性的影响,为今后进一步开展 $\text{Na}^+/\text{K}^+$ -ATPase活性研究提供前期基础工作。

## 1 材料与方法

### 1.1 试验材料

试验用斑节对虾购自上海市图们路农贸市场。对虾在实验室经7~10d暂养,盐度约为10,海水采用自来水加海水盐,经24h以上充气处理,水温控制在23~25℃。暂养期间每天投喂适量螺蛳肉,及时排污,每天换水1/2。试验用斑节对虾体重13~19g。

### 1.2 样品处理

用纱布擦干对虾体表,剪去鳃部头胸甲,用镊子取出头胸甲两侧的鳃片。样品取出后,置于9倍体积的冰冷匀浆液(匀浆液:0.25mol/L蔗糖,6mmol/L EDTA-Na<sub>2</sub>,咪唑20mmol/L,0.1%脱氧胆酸钠,pH 6.8)。该组织在冰冷的毛玻璃组织匀浆器中匀浆,最大转速2000r/min,匀浆15min左右。整个匀浆过程中,匀浆器置于冰水浴中。匀浆液在冷冻离心机中以8000r/min离心20min,上层液保存于冰水浴中, $\text{Na}^+/\text{K}^+$ -ATPase活性测试在样品处理后8h内进行。

### 1.3 $\text{Na}^+/\text{K}^+$ -ATPase活性测定

$\text{Na}^+/\text{K}^+$ -ATPase活性测定是通过测定反应底物ATP-Na<sub>2</sub>水解后释放出来的无机磷Pi量的多少。该方法主要参考Whealy和Henry<sup>[8]</sup>的研究方法。简言之, $\text{Na}^+/\text{K}^+$ -ATPase活性是通过测定K<sup>+</sup>存在时与K<sup>+</sup>不存在时(用鸟本青代替)ATP释放出无机磷Pi量的差值来计算。

取0.1mL粗提取液样品在2mL培养介质中进行培养。实验组培养介质含有100mM NaCl,20mM KCl,5mM MgCl<sub>2</sub>,20mM咪唑(pH 7.8);对照组培养介质含有130mM NaCl,5mM MgCl<sub>2</sub>,20mM咪唑,1mM鸟本青(pH 7.8)。所有试管中加入0.2mL 50mM ATP-Na<sub>2</sub>(用咪唑中和),反应即开始。在25℃下培养45min,加入0.1mL 50%三氯乙酸中止反应,在5000r/min下离心10min,取1mL上清液测定Pi浓度。Pi浓度测定采用钼酸铵法<sup>[11]</sup>,显色温度为25℃。 $\text{Na}^+/\text{K}^+$ -ATPase粗匀浆液的蛋白质浓度采用Folin-酚试剂法<sup>[12]</sup>。 $\text{Na}^+/\text{K}^+$ -ATPase活性单位为nmol Pi/(mg Protein·min)。

### 1.4 数据处理

所有试验设置3个平行组,数据为3个数据的平均值±标准差(Means ± SE)。

## 2 结果

### 2.1 培养介质中 $\text{Na}^+$ 、 $\text{K}^+$ 和 $\text{Mg}^{2+}$ 浓度对斑节对虾鳃 $\text{Na}^+/\text{K}^+$ -ATPase活性的影响

单独调整培养介质中 $\text{Na}^+$ 、 $\text{K}^+$ 和 $\text{Mg}^{2+}$ 浓度,分别测定培养介质中 $\text{Na}^+$ 、 $\text{K}^+$ 和 $\text{Mg}^{2+}$ 浓度对 $\text{Na}^+/\text{K}^+$ -ATPase活性的影响(图1、2和3)。 $\text{Na}^+$ 、 $\text{K}^+$ 和 $\text{Mg}^{2+}$ 对鳃 $\text{Na}^+/\text{K}^+$ -ATPase活性的影响基本相似,低浓度时随离子浓度升高, $\text{Na}^+/\text{K}^+$ -ATPase活性呈对数上升,当培养介质中 $\text{Na}^+$ 、 $\text{K}^+$ 和 $\text{Mg}^{2+}$ 升高到一定浓度时,酶活性达到最高值,随着离子浓度的继续升高,酶的活性在较高值维持一段后略下降。 $\text{Na}^+$ 浓度为50~100mM、 $\text{K}^+$ 浓度为25~30mM、 $\text{Mg}^{2+}$ 浓度为8~20mM时,斑节对虾鳃 $\text{Na}^+/\text{K}^+$ -ATPase活性较高。

## 2.2 $\text{Na}^+ : \text{K}^+$ 比对斑节对虾鳃 $\text{Na}^+ / \text{K}^+$ -ATPase 活性的影响

$\text{Na}^+ / \text{K}^+$ -ATPase 培养介质  $\text{Na}^+$ 、 $\text{K}^+$  总离子强度不变, 恒定为 130mM, 调整  $\text{Na}^+ : \text{K}^+$  比例, 测定不同  $\text{Na}^+ : \text{K}^+$  比例下鳃  $\text{Na}^+ / \text{K}^+$ -ATPase 活性(图 4)。当  $\text{Na}^+ : \text{K}^+$  比例在 10:1 ~ 1:2 之间,  $\text{Na}^+ / \text{K}^+$ -ATPase 活性均在 30nmol Pi/(mg protein·min)以上;  $\text{Na}^+ : \text{K}^+$  比例在 10:1 ~ 2:1 之间,  $\text{Na}^+ / \text{K}^+$ -ATPase 活性最高。

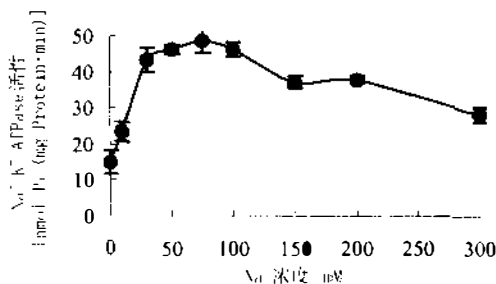


图 1 反应介质中  $\text{Na}^+$ 浓度对斑节对虾鳃  $\text{Na}^+ / \text{K}^+$ -ATPase 活性的影响

Fig. 1 Effect of  $\text{Na}^+$  concentration on giant tiger shrimp gill  $\text{Na}^+ / \text{K}^+$ -ATPase activity

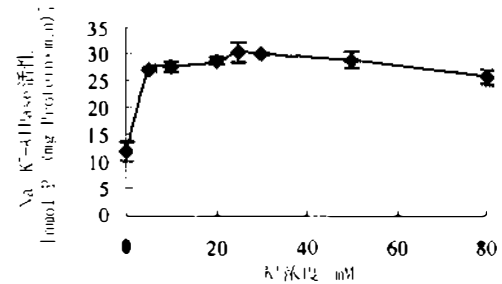


图 2 反应介质中  $\text{K}^+$ 浓度对斑节对虾鳃  $\text{Na}^+ / \text{K}^+$ -ATPase 活性的影响

Fig. 2 Effect of  $\text{K}^+$  concentration on giant tiger shrimp gill  $\text{Na}^+ / \text{K}^+$ -ATPase activity

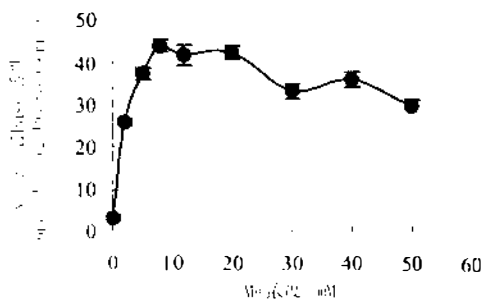


图 3 反应介质中  $\text{Mg}^{2+}$ 浓度对斑节对虾鳃  $\text{Na}^+ / \text{K}^+$ -ATPase 活性的影响

Fig. 3 Effect of  $\text{Mg}^{2+}$  concentration on giant tiger shrimp gill  $\text{Na}^+ / \text{K}^+$ -ATPase activity

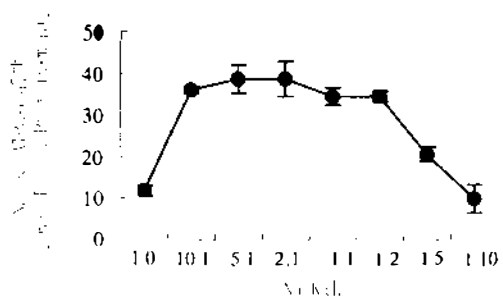


图 4 反应介质中  $\text{Na} : \text{K}$ 比对斑节对虾鳃  $\text{Na}^+ / \text{K}^+$ -ATPase 活性的影响

Fig. 4 Effect of Na:K ratio on giant tiger shrimp gill  $\text{Na}^+ / \text{K}^+$ -ATPase activity

## 2.3 培养介质的 pH 值对 $\text{Na}^+ / \text{K}^+$ -ATPase 活性的影响

培养介质的 pH 值对  $\text{Na}^+ / \text{K}^+$ -ATPase 活性的影响见图 5。 $\text{Na}^+ / \text{K}^+$ -ATPase 反应时最适 pH 值在 7.0 ~ 7.5 之间, 低于或高于此 pH 值范围,  $\text{Na}^+ / \text{K}^+$ -ATPase 活性均有所下降。

## 2.4 底物 ATP- $\text{Na}_2$ 量对 $\text{Na}^+ / \text{K}^+$ -ATPase 活性的影响

$\text{Na}^+ / \text{K}^+$ -ATPase 反应底物 ATP- $\text{Na}_2$ 量的多少对  $\text{Na}^+ / \text{K}^+$ -ATPase 活性的影响符合米氏方程(图 6)。当 ATP- $\text{Na}_2$  低于 1.0mM 时,  $\text{Na}^+ / \text{K}^+$ -ATPase 活性随着 ATP- $\text{Na}_2$  量增多呈指数增大; ATP- $\text{Na}_2$  大于 1.0mM 时,  $\text{Na}^+ / \text{K}^+$ -ATPase 活性基本上稳定在同一水平。

## 2.5 温度对斑节对虾鳃 $\text{Na}^+ / \text{K}^+$ -ATPase 活性的影响

将斑节对虾  $\text{Na}^+ / \text{K}^+$ -ATPase 粗提液分别在 5℃、15℃、25℃ 和 35℃ 条件下培养 45min, 其他条件相同, 测定四个温度下  $\text{Na}^+ / \text{K}^+$ -ATPase 活性(图 6)。 $\text{Na}^+ / \text{K}^+$ -ATPase 活性随着温度升高而增大, 15℃ 和 35℃ 时  $\text{Na}^+ / \text{K}^+$ -ATPase 活性分别为 5℃ 和 25℃ 时酶活性的 2 倍左右; 25℃ 时酶活性约为 15℃ 时的 4 倍。

## 2.6 斑节对虾 Na<sup>+</sup>/K<sup>+</sup>-ATPase 在不同反应时间下释放出的 Pi 累积量

在 Na<sup>+</sup>/K<sup>+</sup>-ATPase 反应中加入底物 ATP-Na<sub>2</sub> 后 5、10、20、30、40、50 和 60min, 测定 Na<sup>+</sup>/K<sup>+</sup>-ATPase 反应释放出的 Pi 量。释放出的 Pi 累积量随时间的延续呈直线增加, 将时间(x)与各时间采样点的 Pi 累积量(y)进行线性回归, 回归方程为  $y = 0.0414x + 0.2996$ , 相关系数  $R^2 = 0.9864$ , 参见图 8。

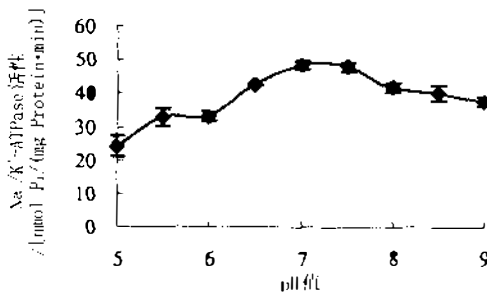


图 5 反应介质的 pH 值对斑节对虾鳃 Na<sup>+</sup>/K<sup>+</sup>-ATPase 活性的影响

Fig. 5 Effect of pH on shrimp gill Na<sup>+</sup>/K<sup>+</sup>-ATPase activity

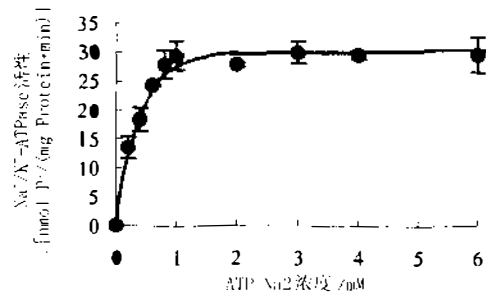


图 6 反应介质中 ATP-Na<sub>2</sub> 浓度对斑节对虾鳃 Na<sup>+</sup>/K<sup>+</sup>-ATPase 活性的影响

Fig. 6 Effect of ATP-Na<sub>2</sub> concentration on giant tiger shrimp gill Na<sup>+</sup>/K<sup>+</sup>-ATPase activity

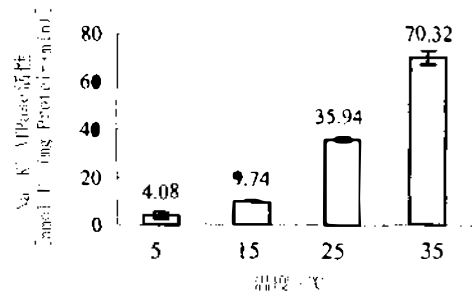


图 7 反应温度对斑节对虾鳃 Na<sup>+</sup>/K<sup>+</sup>-ATPase 活性的影响

Fig. 7 Effect of temperature on giant tiger shrimp gill Na<sup>+</sup>/K<sup>+</sup>-ATPase activity

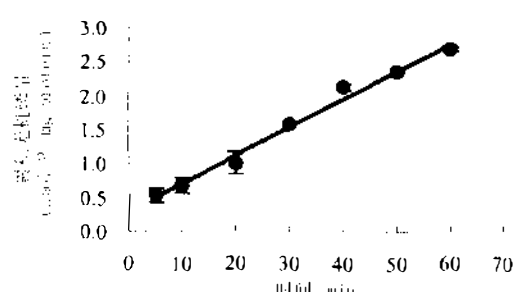


图 8 斑节对虾鳃 Na<sup>+</sup>/K<sup>+</sup>-ATPase 释放出 Pi 累积量与培养时间的关系

Fig. 8 Accumulation of inorganic phosphate from giant tiger shrimp gill Na<sup>+</sup>/K<sup>+</sup>-ATPase at increasing incubation times

## 3 讨论

研究 Na<sup>+</sup>/K<sup>+</sup>-ATPase 活性时, 在不同的研究中, 酶的活性是在不同提取成分和不同测定条件下进行测定, 因此很难将斑节对虾鳃 Na<sup>+</sup>/K<sup>+</sup>-ATPase 活性和其他甲壳动物进行比较, 但可以比较它们的 Na<sup>+</sup>/K<sup>+</sup>-ATPase 特性。斑节对虾鳃 Na<sup>+</sup>/K<sup>+</sup>-ATPase 特性与其他甲壳动物基本相似, 然而也有不同之处。

本试验中底物 ATP 浓度达到 1.0mM, Na<sup>+</sup>/K<sup>+</sup>-ATPase 活力即达到最高, 与其他作者的研究结果有所不同。美洲真蟹 (*Callinectes sapidus*)<sup>[7]</sup>、淡水螯虾 (*Orconectes limosus*)<sup>[9]</sup> 和海滨紫蟹 (*Hemigrapsus mudus*)<sup>[10]</sup> 鳃 Na<sup>+</sup>/K<sup>+</sup>-ATPase 在底物浓度大于 5mM 时, 其酶的活力达到最高; 而 Stern 等<sup>[13]</sup> 在研究罗氏沼虾 (*Macrobrachium rosenbergii*) 鳃 Na<sup>+</sup>/K<sup>+</sup>-ATPase 活力, ATP 0.5mM 时即可得到最大酶活力。

Busacker 和 Chavin<sup>[14]</sup> 报道 pH 值过高或过低均会抑制 ATPase 活力, 硬骨鱼类的最适 pH 值在 7.0–7.5 之间。Corotto 和 Holliday<sup>[10]</sup> 研究海滨紫蟹鳃 Na<sup>+</sup>/K<sup>+</sup>-ATPase 活力时 pH 值为 7.2, Kosiol 等<sup>[9]</sup> 研究淡水螯虾鳃时 pH 值为 7.25, Stern 等<sup>[13]</sup> 研究罗氏沼虾鳃时最佳 pH 值为 7.5; 而 Wheatley 和 Henry<sup>[8]</sup> 研究广-

盐性斑虾(*Pacifastacus leniusculus*)时pH值设为7.8,但未进行最适pH值筛选,尽管本试验在起初设定试验方案时参考Wheatly和Henry<sup>[8]</sup>的方法,将pH值初定为7.8,而本试验得出,斑节对虾鳃Na<sup>+</sup>/K<sup>+</sup>-ATPase pH值最适范围为7.0~7.5。

本试验中培养介质Mg<sup>2+</sup>最适浓度为8~20mM,高于本试验所设定的浓度(5mM),与Corotto和Holliday<sup>[10]</sup>研究海滨紫蟹(*Hemigrapsus nudus*)鳃时的Mg<sup>2+</sup>浓度(10mM)相接近。而淡水螯虾<sup>[9]</sup>和罗氏沼虾<sup>[13]</sup>鳃Na<sup>+</sup>/K<sup>+</sup>-ATPase的最适Mg<sup>2+</sup>浓度分别为2.3和2.5mM。

斑节对虾鳃Na<sup>+</sup>/K<sup>+</sup>-ATPase对Na<sup>+</sup>、K<sup>+</sup>依赖性(Na<sup>+</sup>浓度为100~200mM、K<sup>+</sup>浓度为20~30mM时酶活性最高)与其他甲壳动物基本一致。然而,当每一离子浓度高于最大活性浓度时,或多或少见有抑制作用,这可能是与其它离子竞争激活位点<sup>[15]</sup>。

在Na<sup>+</sup>、K<sup>+</sup>和Mg<sup>2+</sup>浓度对斑节对虾鳃Na<sup>+</sup>/K<sup>+</sup>-ATPase活性影响三组试验中,当Na<sup>+</sup>、K<sup>+</sup>和Mg<sup>2+</sup>浓度为0时,Na<sup>+</sup>/K<sup>+</sup>-ATPase均表现出一定的活性(图1、2、3和4),与Corotto and Holliday<sup>[10]</sup>在K<sup>+</sup>浓度时海滨紫蟹鳃Na<sup>+</sup>/K<sup>+</sup>-ATPase活性时结果相似,而其他作者<sup>[9,16]</sup>在相同的试验中其酶的活性很低。这是是否因种间差异所致,有待于进一步探讨。

本试验得到上海水产大学何培民博士的热情帮助,特此致谢。

## 参考文献:

- [1] Quinn D J, Lane C E. Ionic regulation and Na<sub>x</sub>K<sub>y</sub>-stimulated ATPase activity in the land crab *Cardisoma guanhumi* [J]. Comp Biochem Physiol, 1966, 19:533~543.
- [2] Towle D W. Equivalence of gill Na<sup>+</sup>/K<sup>+</sup>-ATPase from blue crab acclimated to high and low salinities [J]. Am Zool, 1974, 14:1259.
- [3] Mantel L H, Olsen J. Studies on the Na<sup>+</sup> + K<sup>+</sup>-activated ATPase of crab gills [J]. Am Zool, 1976, 16:223.
- [4] Neufeld G I, Holliday C W, Pritchard J B. Salinity adaptation of gill Na<sub>x</sub>K<sub>y</sub>-ATPase in the blue crab, *Callinectes sapidus* [J]. J Exp Zool, 1980, 211:215~224.
- [5] Holliday C W. Salinity-induced changes in gill Na<sub>x</sub>K<sub>y</sub>-ATPase activity in the mud fiddler crab, *Uca pugnax* [J]. J Exp Zool, 1985, 233:199~208.
- [6] Towle D W. Membrane-bound ATPase in arthropod ion-transporting tissues [J]. Am Zool, 1984, 24:177~185.
- [7] Towle D W, Palmer G E, Harris J L. Role of gill Na<sup>+</sup> + K<sup>+</sup>-dependent ATPase in acclimation of blue crabs *Callinectes sapidus* to low salinity [J]. J Exp Zool, 1976, 196:315~321.
- [8] Wheatley M C, Henry R P. Branchial and antennal gland Na<sup>+</sup>/K<sup>+</sup>-dependent ATPase and carbonic anhydrase activity during salinity acclimation of the euryhaline crayfish *Parastacus leniusculus* [J]. J Exp Biol, 1987, 133:73~86.
- [9] Kosiol B, Bigalke T, Grzeszki K. Purification and characterization of gill (Na<sup>+</sup>, K<sup>+</sup>)-ATPase in the freshwater crayfish *Oreocetes limatus* Rafinesque [J]. Comp Biochem Physiol, 1988, 89B:171~177.
- [10] Corotto F S, Holliday C W. Branchial Na<sub>x</sub>K<sub>y</sub>-ATPase and Osmoregulation in the Purple Shore Crab, *Hemigrapsus nudus* (Dana) [J]. Comp Biochem Physiol, 1996, 113A:361~368.
- [11] 中山大学生物系生化微生物教研室. 生化技术导论 [M]. 北京: 人民教育出版社, 1979. 18~19.
- [12] 张龙翔. 生化实验技术方法和技术 [M]. 北京: 高等教育出版社, 1984. 165~166.
- [13] Stern S, Borut A, Cohen D. Characterization of Na<sub>x</sub>K<sub>y</sub> ATPase from the gills of the freshwater prawn *Macrobrachium rosenbergii* (De Man) [J]. Comp Biochem Physiol, 1984, 79B:47~50.
- [14] Bosacker G P, Chavin W. Characterization of Na<sup>+</sup> + K<sup>+</sup>-ATPase and Mg-ATPase from the gill and the kidney of the goldfish (*Carassius auratus* L.) [J]. Comp Biochem Physiol, 1981, 69B:249~256.
- [15] Skou J C. Effects of ATP on the intermediary steps of the reaction of the (Na<sup>+</sup> + K<sup>+</sup>)-dependent enzyme system. I. Effect of a variation in the ATP/Mg<sup>2+</sup> ratio [J]. Biochim Biophys Acta, 1974, 339:246~257.
- [16] Holliday C W. Branchial Na<sup>+</sup>/K<sup>+</sup>-ATPase and osmoregulation in the isopod, *Idotea leosnowskii* [J]. J Exp Biol, 1988, 136:259~272.